

文章编号:0253-9950(2009)03-0152-05

$^{99}\text{Tc}^{\text{m}}(\text{CO})_3^+$ 核心标记的邻二氮杂菲类化合物的理化性质和生物分布

杨 洋, 韩美娇, 王科志, 朱 霖*

教育部放射性药物重点实验室, 北京师范大学 化学学院, 北京 100875

摘要: 确定化合物可以通过血脑屏障进入脑中并迅速从脑中清除, 是判断药物能否作为阿尔茨海默病显像剂的首要条件。为发展 $^{99}\text{Tc}^{\text{m}}$ 标记的阿尔茨海默病早期显像诊断药物, 在前期研究与 DNA 分子结合的荧光探针钼金属配合物的基础上, 设计合成了 2 个邻二氮杂菲类配体 2-(9-蒽基)-1 氢-咪唑[4, 5-f][1, 10] 邻菲咯啉(2-(9-anthryl)-1H-imidazo[4, 5-f][1, 10]phenanthroline, aip) 和 2-(9-蒽基)-1 乙基-咪唑[4, 5-f][1, 10] 邻菲咯啉(2-(9-anthryl)-1ethyl-imidazo[4, 5-f][1, 10]phenanthroline, aeip), 并与 $^{99}\text{Tc}^{\text{m}}(\text{CO})_3^+$ 进行标记。采用 R-HPLC、纸电泳等方法研究标记产物的理化性质。正常小鼠体内生物分布研究表明, 2 种化合物 $^{99}\text{Tc}^{\text{m}}(\text{CO})_3^+$ -aip 和 $^{99}\text{Tc}^{\text{m}}(\text{CO})_3^+$ -aeip 均有一定的脑初始摄取, 注射后 2 min, 前者为 $(1.028 \pm 0.096)\% \text{ID/g}$; 后者为 $(1.191 \pm 0.197)\% \text{ID/g}$, 因此标记物具有进一步研究的价值。

关键词: 阿尔茨海默病; 羰基钼; 邻二氮杂菲; 脑摄取

中图分类号: R817 文献标志码: A

Preparation and Evaluation of New [$^{99}\text{Tc}^{\text{m}}(\text{CO})_3^+$]-Labelled Phenanthroline Complexes

YANG Yang, HAN Mei-jiao, WANG Ke-zhi, ZHU Lin*

Key Laboratory of Radiopharmaceuticals, Ministry of Education,
College of Chemistry, Beijing Normal University, Beijing 100875, China

Abstract: The chief requirement to determine if pharmaceuticals may be AD-tracer is that complexes can pass through BBB to enter the brain and have rapid clean from the brain. To develop early diagnose radiopharmaceuticals for Alzheimer's disease, new phenanthroline complexes 2-(9-anthryl)-1H-imidazo[4, 5-f][1, 10]phenanthroline (aip) and 2-(9-anthryl)-1ethyl-imidazo[4, 5-f][1, 10]phenanthroline (aeip) based on the early research of Ru complexes banding to DNA used for fluorescence method were synthesized and labelled by $^{99}\text{Tc}^{\text{m}}$ -tricarbonyl core. Radiochemical purities of complexes $^{99}\text{Tc}^{\text{m}}(\text{CO})_3^+$ -aip and $^{99}\text{Tc}^{\text{m}}(\text{CO})_3^+$ -aeip were found to be more than 95% as proved by radio-HPLC. Paper electrophoresis show that these complexes are neutral. Biodistribution of these complexes in mice shows the higher early uptakes in brain (2 min, $^{99}\text{Tc}^{\text{m}}(\text{CO})_3^+$ -aip: $(1.028 \pm 0.096)\% \text{ID/g}$; $^{99}\text{Tc}^{\text{m}}(\text{CO})_3^+$ -aeip: $(1.191 \pm 0.197)\% \text{ID/g}$).

Key words: Alzheimer's disease; $^{99}\text{Tc}^{\text{m}}(\text{CO})_3^+$; phenanthroline; uptakes in brain

收稿日期: 2008-02-24; 修订日期: 2008-10-08

基金项目: 国家“973”项目(2006CB500705); 国家自然科学基金资助项目(20371008, 90401007)

作者简介: 杨 洋(1982—), 男, 黑龙江哈尔滨人, 博士研究生, 放射性药物专业

* 通讯联系人: 朱 霖, 女, 博士, 教授, 博士生导师, 放射性药物专业, E-mail: zhulin@bnu.edu.cn

阿尔茨海默病(Alzheimer's disease, AD)又称老年性痴呆症,是由于大脑细胞退化而导致思维能力逐渐丧失的一种疾病。其病理特征是脑组织中出现大量的老年斑(SP)和神经原纤维缠结(NFT)。SP由 β -淀粉样蛋白(A β)构成,A β 作为其有效的生物化学标志物,研制与A β 有亲和力的放射性显像剂,可对AD进行早期诊断^[1]。

到目前为止,尸检仍是诊断AD的唯一可靠标准。它是利用硫磺素-T、刚果红等染料对病人脑组织中的老年斑进行染色,在显微镜下观测,根据其数量多少来诊断^[2]。虽然还没有一个可靠的用于AD早期诊断的方法,但已发现一些化合物与A β 有较高亲和力,例如FDDNP, IBOX, TZDM, 6-OH-BTA-1, SB-13, IMPY等^[3-5]。 $^{99}\text{Tc}^m$ 标记的可与A β 斑块有特异性结合的SPECT显像剂报道很少,目前研究较成功的是以 $^{99}\text{Tc}^m$ 标记的联苯类化合物,其脑初始摄取相对较高(2 min: 1.18% ID/g),清除较快,且在转基因老鼠AD脑切片中的放射性自显影中可清楚发现,它与老年斑有明显的结合^[6]。

从AD诊断药物的相关报道可以发现,与A β 斑块具有特异性结合的分子设计原则是:(1)这些探针应包含简单的二苯乙烯结构;(2)一个苯环上含有给电子基团如

-Me₂N-, MeO-或HO-等;(3)另一苯环具有较大的可修饰性,可用于放射性核素的标记,而不影响其亲和力^[1];(4)标记产物要有适当的脂溶性^[7],在脑中的初始摄取高,且清除较快;(5)原料价格适中。为探索新的A β 斑块显像剂的先导化合物,本工作拟在前期研究新核心标记药物 $^{99}\text{Tc}^m(\text{CO})_2(\text{NO})^{2+}$ 的基础上^[8],合成配体2-(9-蒽基)-1-氢-咪唑[4, 5-f][1, 10]邻菲咯啉(2-(9-anthryl)-1H-imidazo[4, 5-f][1, 10]phenanthroline, aip)和2-(9-蒽基)-1-乙基-咪唑[4, 5-f][1, 10]邻菲咯啉(2-(9-anthryl)-1ethyl-imidazo[4, 5-f][1, 10]phenanthroline, aeip),并分别通过 $^{99}\text{Tc}^m(\text{CO})_3^+$ 核心进行标记,用R-HPLC、纸电泳等方法研究标记产物的理化性质以及生物分布,探索此类配合物是否可以作为AD显像药物。

1 实验部分

1.1 试剂和仪器

260-50型红外光谱仪,日本Hitachi公司;Advance 500 MHz 超导核磁共振仪,瑞士Bruker

公司;Trace 质谱仪,美国Finigan公司;HPLC,日本岛津公司;Vario EL 元素分析仪,德国Elementar公司。

蒽-9-甲醛(anthracene-9-carbaldehyde), 1, 10-邻菲咯啉-5, 6-二酮(1, 10-phenanthroline-5, 6-dione), NaH, 美国Sigma公司产品;其它试剂为北京化学试剂公司产品。

1.2 实验条件

HPLC分析系统:色谱柱为C-18反向柱,洗脱梯度:溶液A是含0.1%TFA的水;溶液B是含0.1%TFA的乙腈。方法是:0—20 min, 100%A—100%B; 20—25 min, 100%B; 流速0.9 mL/min。

1.3 配体的合成

配体aip和aeip的合成路线示于图1。配体aip的合成参照文献^[9],aeip的合成是把aip乙基化。

1.4 $^{99}\text{Tc}^m(\text{CO})_3^+$ 的放射性标记

1.4.1 $^{99}\text{Tc}^m(\text{CO})_3(\text{H}_2\text{O})_3^+$ 中间体的制备 按文献^[10]方法,将20 mg 硼氢化钠,4 mg 碳酸钠,15 mg 酒石酸钾钠装入一个西林瓶中,密封后通入CO气体30 min,将瓶中空气排净,压好铝盖备用。用注射器向制备好的 $^{99}\text{Tc}^m(\text{CO})_3$ 中间体药盒中加入新淋洗的高锝酸钠溶液(1 mL,约27 MBq)。100 °C水浴反应10 min,冷却至室温,用0.1 mol/L HCl调节pH=7,备用。

1.4.2 $^{99}\text{Tc}^m(\text{CO})_3^+$ -aip/aeip的制备 分别配制pH=1的aip/aeip(1 mmol/L)溶液,移取0.5 mL配体溶液分别放入2个西林瓶中,再分别加入0.1 mL上述制备的 $^{99}\text{Tc}^m(\text{CO})_3(\text{H}_2\text{O})_3^+$ 中间体溶液,再用0.1 mol/L NaOH溶液调节溶液的pH=7,室温下放置30 min。

1.4.3 标记率的测定 $^{99}\text{Tc}^m(\text{CO})_3(\text{H}_2\text{O})_3^+$ 中间体和 $^{99}\text{Tc}^m(\text{CO})_3^+$ -aip/aeip配合物的标记率测定均采用HPLC分析方法。

1.4.4 配合物电荷的测定 将纯化纯大于95%的 $^{99}\text{Tc}^m(\text{CO})_3^+$ -aip/aeip配合物溶液点样于新华一号滤纸,置于0.06 mol/L磷酸盐(PBS)缓冲溶液(pH=7.4)中展开。电泳电压为150 V,电场强度为20 V/cm,展开时间为4 h。测定各标记化合物的放射性分布,分别计算移向正极、负极及滞留原点组分的相对百分比(表1)。

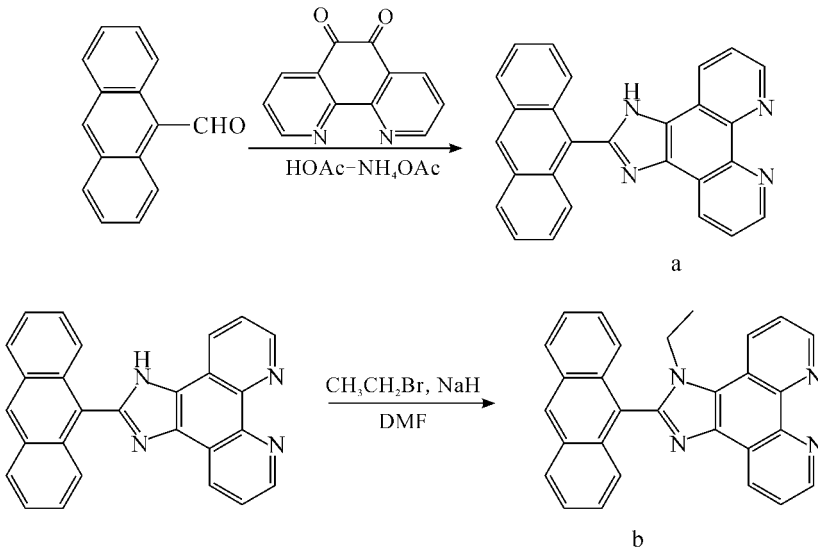


图 1 aip(a)和 aeip(b)的合成

Fig. 1 Synthesis of aip(a) and aeip(b)

表 1 配合物电荷分布

Table 1 Charge distribution of two complexes

配合物 (Complexes)	阴极 (Cathode)	原点 (Origin)	阳极 (Anode)
$[^{99}\text{Tc}^m(\text{CO})_3]^+ - \text{aip}$	2%	97%	1%
$[^{99}\text{Tc}^m(\text{CO})_3]^+ - \text{aeip}$	3%	95%	2%

1.4.5 配合物脂水分配系数的测定 将0.1 mL $^{99}\text{Tc}^m(\text{CO})_3^+ - \text{L}$ (L = aip, aeip) 溶液加入到含有2 mL正辛醇与1.9 mL PBS缓冲溶液(pH=7.4)的离心试管中,充分混合后离心分层,分别取等体积的有机相和水相溶液测定其放射性计数,由有机相和水相计数比的对数计算 $^{99}\text{Tc}^m(\text{CO})_3^+ - \text{L}$ 的脂水分配系数。

1.4.6 配合物的生物分布研究 取18~22 g雌性昆明小鼠15只,尾静脉注射 $[^{99}\text{Tc}^m(\text{CO})_3]^+ - \text{aip/aeip}$ 溶液0.1 mL(约700 MBq/L),分别于注射后2, 15, 30, 60, 120 min将其断颈处死,取心、肝、脾、肺、肾、肌肉、骨组织、脑、血液,称重并测定放射性计数,计算每克组织的百分注射剂量率(%ID/g)。

2 结果和讨论

2.1 配体 aip 和 aeip 的有机合成

没有对合成的 aip 进行结构表征,但对形成的配合物 $[(\text{bpy})_2\text{Ru}(\text{aip})](\text{ClO}_4)_2 \cdot \text{H}_2\text{O}$ 进行

了结构表征^[9],证明了 aip 的结构。

aeip 的元素分析结果如下(%): C, 81.41; H, 4.544; N, 12.80。C₂₉H₂₀N₄·0.25H₂O 计算结果(%): C, 81.25; H, 4.817; N, 13.06。¹H NMR(500 Hz, DMSO-d₆): 9.13 (m, 2H); 8.93 (m, 3H); 8.29 (d, 2H); 7.84 (m, 2H); 7.62 (t, 2H); 7.51 (m, 4H); 4.31 (m, 2H); 1.18 (t, 3H)。熔点:238~240 °C。

2.2 $[^{99}\text{Tc}^m(\text{CO})_3]^+ - \text{L}$ 的标记及理化性质研究

2.2.1 $[^{99}\text{Tc}^m(\text{CO})_3]^+$ 中间体的 HPLC 分析 按照文献[8]方法制备的 $[^{99}\text{Tc}^m(\text{CO})_3]^+$ 中间体的放化纯大于99%,而且具有较好的稳定性。

2.2.2 $[^{99}\text{Tc}^m(\text{CO})_3]^+ - \text{aip/aeip}$ 配合物的 HPLC 分析 $[^{99}\text{Tc}^m(\text{CO})_3]^+ - \text{aip/aeip}$ 配合物的 HPLC 分析结果示于图2。室温下中性溶液中,配体 aip 和 aeip 易与 $[^{99}\text{Tc}^m(\text{CO})_3]^+$ 中间体进行标记,标记率大于95%。HPLC 图谱: $[^{99}\text{Tc}^m(\text{CO})_3]^+ - \text{aip/aeip}$ 的保留时间分别为14.20 min和13.90 min。图2中保留时间为17.2 min和21.20 min的峰均为杂质峰。

2.2.3 $[^{99}\text{Tc}^m(\text{CO})_3]^+ - \text{aip/aeip}$ 电荷的测定 分别将放化纯大于95%的 $[^{99}\text{Tc}^m(\text{CO})_3]^+ - \text{aip/aeip}$ 配合物溶液点样于新华一号滤纸,置于0.06 mol/L磷酸盐缓冲溶液(pH=7.4)中展开。电泳电压为150 V,电场强度为20 V/cm,展开时

间为 2 h, 测定标记化合物的放射性分布, 分别计算移向正极、负极及滞留原点组分的相对百分比。结果证明, [⁹⁹Tc^m(CO)₃]⁺-aip/aeip 均为电中性(表 1), 这是化合物进脑的前提。推测 [⁹⁹Tc^m(CO)₃]⁺-aip/aeip 为电中性可能是因为溶液中的氯离子配位 [⁹⁹Tc^m(CO)₃]⁺ 核心得到零电荷的 [⁹⁹Tc^m(CO)₃(Cl)]⁻-aip/aeip 配合物。

2.2.4 [⁹⁹Tc^m(CO)₃]⁺-aip/aeip 的脂水分配系数的测定 分别取等体积的有机相和水相溶液测定放射性计数, 计算 pH=7.4 时⁹⁹Tc^m(CO)₃⁺-L 的脂水分配系数(lg P), 结果为:⁹⁹Tc^m(CO)₃⁺-aip 的 lg P = -0.503; ⁹⁹Tc^m(CO)₃⁺-aeip 的 lg P = -0.171。

2.3 [⁹⁹Tc^m(CO)₃]⁺-aip/aeip 的小鼠体内生物分布

[⁹⁹Tc^m(CO)₃]⁺-aip 和 [⁹⁹Tc^m(CO)₃]⁺-aeip 在小鼠体内的生物分布实验结果分别列表 2 和

表 3。这些结果表明, 2 个标记化合物在小鼠脑中有一定的初始摄取, 2 h 内在脑中的清除较快, 在其它组织中有相似的摄取和清除。配合物 [⁹⁹Tc^m(CO)₃]⁺-aeip 在脑中的初始摄取(2 min, (1.191±0.197)%ID/g)稍大于 [⁹⁹Tc^m(CO)₃]⁺-aip (2 min, (1.028±0.096)%ID/g), 可能是因为前者比后者多一个乙基, 使配合物脂溶性增大, 进脑量略有提高。2 种化合物⁹⁹Tc^m(CO)₃⁺-aip 和 ⁹⁹Tc^m(CO)₃⁺-aeip 与文献 [6] 报道的⁹⁹Tc^m(V)O 核心标记化合物(2 min, 1.18%ID/g)相比有相当的初始脑摄取(2 min, (1.028±0.096)%ID/g (⁹⁹Tc^m(CO)₃⁺-aip) 和 (1.191±0.197)%ID/g (⁹⁹Tc^m(CO)₃⁺-aeip)), 这表明⁹⁹Tc^m(CO)₃⁺ 核心标记的 aip 和 aeip 可以通过 BBB, 且 120 min 内在脑组织中的清除也较快, 但在血液、肝脏、肾、骨、肺等组织中的清除较慢, 且代谢途径尚不清楚。

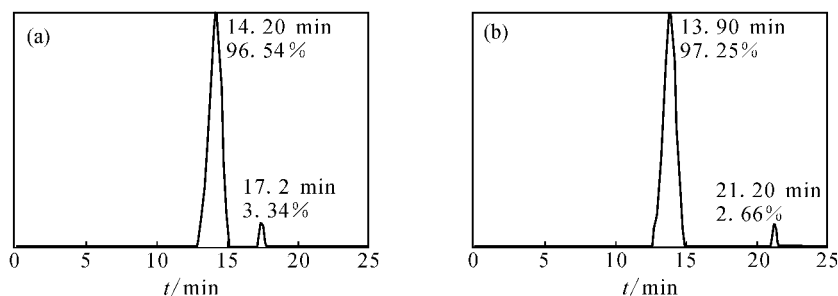


图 2 配合物 [⁹⁹Tc^m(CO)₃]⁺-aip(a)/aeip(b) 的 HPLC 分析

Fig.2 HPLC analysis of [⁹⁹Tc^m(CO)₃]⁺-aip(a)/aeip(b) complexes

表 2 [⁹⁹Tc^m(CO)₃]⁺-aip 在小鼠体内的分布

Table 2 Biodistribution of [⁹⁹Tc^m(CO)₃]⁺-aip in mice

组织 (Tissues)	每克组织百分注射剂量率 (Percentage of the injected dose per gram of tissue mass) / (%ID · g ⁻¹)				
	2 min	15 min	30 min	60 min	120 min
脑 (Brain)	1.028±0.096	0.650±0.048	0.687±0.038	0.614±0.050	0.497±0.157
血 (Blood)	18.148±1.142	15.303±1.609	14.312±1.520	11.842±0.567	10.253±1.138
心 (Heart)	8.651±0.815	5.534±0.393	5.506±0.097	3.990±1.136	2.871±0.320
肝 (Liver)	15.510±3.147	18.755±0.695	18.074±1.642	18.537±0.405	15.055±1.666
脾 (Spleen)	6.600±0.763	5.645±0.606	6.339±0.420	7.860±1.520	5.936±1.675
肺 (Lung)	21.909±2.489	15.290±2.150	15.881±1.583	12.955±0.965	11.019±1.156
肾 (Kidney)	28.155±1.539	26.962±1.281	23.515±1.456	21.929±2.175	18.544±2.326
肌肉 (Muscle)	3.176±0.470	2.133±0.382	2.638±0.304	2.445±0.430	1.758±0.508
骨组织 (Bone)	5.815±0.824	4.233±1.487	4.847±0.646	3.867±0.593	4.266±0.585

注 (Note): n=3

表 3 $[^{99}\text{Tc}^{\text{m}}(\text{CO})_3]^+ \text{-aiep}$ 在小鼠体内的分布
Table 3 Biodistribution of $[^{99}\text{Tc}^{\text{m}}(\text{CO})_3]^+ \text{-aiep}$ in mice

组织 (Tissues)	每克组织百分注射剂量率 (Percentage of the injected dose per gram of tissue mass) / (%ID · g ⁻¹)				
	2 min	15 min	30 min	60 min	120 min
脑 (Brain)	1.191 ± 0.197	0.588 ± 0.084	0.691 ± 0.134	0.472 ± 0.016	0.470 ± 0.143
血 (Blood)	16.033 ± 2.639	11.202 ± 1.125	11.619 ± 0.920	8.532 ± 0.131	8.821 ± 1.293
心 (Heart)	6.582 ± 0.284	4.666 ± 0.342	5.220 ± 1.215	3.844 ± 0.147	4.805 ± 0.384
肝 (Liver)	16.816 ± 1.753	21.058 ± 1.466	21.640 ± 1.129	18.571 ± 2.122	22.203 ± 0.530
脾 (Spleen)	13.959 ± 1.503	17.272 ± 3.257	12.831 ± 3.165	10.818 ± 0.617	10.681 ± 1.378
肺 (Lung)	26.518 ± 1.434	18.913 ± 1.813	16.288 ± 3.066	13.595 ± 1.010	12.844 ± 3.061
肾 (Kidney)	19.733 ± 1.932	18.373 ± 4.908	18.254 ± 4.281	15.929 ± 1.288	16.876 ± 1.204
肌肉 (Muscle)	2.702 ± 0.249	2.413 ± 0.766	2.165 ± 0.605	1.701 ± 0.181	2.457 ± 0.434
骨组织 (Bone)	5.247 ± 0.772	4.060 ± 0.266	3.487 ± 0.668	2.827 ± 0.599	3.775 ± 0.703

注 (Note): $n=3$

3 结 论

本工作合成了 2 个邻二氮杂菲类配体, 化学合成方便, 通过 $^{99}\text{Tc}^{\text{m}}(\text{CO})_3^+$ 核心进行标记, 标记产率较高 (大于 95%)。研究了 $[^{99}\text{Tc}^{\text{m}}(\text{CO})_3]^+ \text{-aiep}$ 和 $[^{99}\text{Tc}^{\text{m}}(\text{CO})_3]^+ \text{-aiep}$ 在小鼠体内的生物分布, 正常小鼠脑内的摄取和代谢情况表明, 本研究工作为发展 $^{99}\text{Tc}^{\text{m}}(\text{CO})_3^+$ 核心标记的 AD 早期诊断药物提供了新的设计思路。Re(CO)₃⁺-aiep 和 Re(CO)₃⁺-aiep 配合物的制备、结构确定以及与 Aβ 斑块结合的评价正在进行中。

参考文献:

- [1] 王武尚, 张锦明, 刘伯里. AD 脑 Aβ 放射性显像剂的研究进展[J]. 同位素, 2004, 17(4): 232-240.
- [2] Wengenack T M, Curran G L, Poduslo J F. Targeting Alzheimer's Amyloid Plaques *in Vivo*[J]. Nat Biotechnol, 2000, 18(8): 868-872.
- [3] Hiroshi Shimadzu, Takahiro Suemoto, Masako Suzuki, et al. A Novel Probe for Imaging Amyloid-β: Synthesis of F-18 Labelled BF-108, an Acridine Orange Analog [J]. J Label Compd Radiopharm, 2003, 46: 765-772.
- [4] Lee Chi-Wan, Kung Mei-Ping, Hou Catherine, et al. Dimethylamino-Fluorenes: Ligands for Detecting β-Amyloid Plaques in the Brain[J]. Nucl Med Biol, 2003, 30: 573-580.
- [5] Masahiro O, Haratake M, Nakayama M, et al. Synthesis and Biological Evaluation of (E)-3-Styrylpyridine Derivatives as Amyloid Imaging Agents for Alzheimer's Disease[J]. Nucl Med Biol, 2005, 32: 329-335.
- [6] Zhuang Zhi-Ping, Kung Mei-Ping, Hou Catherine, et al. Biphenyls Labeled With Technetium 99m for Imaging β-Amyloid Plaques in the Brain[J]. Nucl Med Biol, 2005, 32: 171-184.
- [7] Zhang Wei, Oya Shunichi, Kung Mei-Ping, et al. F-18 Polyethyleneglycol Stilbenes as PET Imaging Agents Targeting Aβ Aggregates in the Brain[J]. Nucl Med Biol, 2005, 32: 799-809.
- [8] Yang Y, Zhang J X, Wang J J, et al. Two Novel Procedures of Preparation for $[\text{Tc}(\text{CO})_2(\text{NO})]^{2+}$ Labeled by EHIDA and Its Biodistribution[J]. J Radioanal Nucl Chem, 2007, 273(1): 31-36.
- [9] Han Mei-Jiao, Gao Li-Hua, Wang Ke-Zhi. Ruthenium(II) Complex of 2-(9-Anthryl)-1H-Imidazo [4, 5-F][1, 10]Phenanthroline: Synthesis, Spectrophotometric pH Titrations and DNA Interaction[J]. New J Chem, 2006, 30: 208-214.
- [10] 张小波, 朱霖, 赵学颖, 等. $[^{99}\text{Tc}^{\text{m}}(\text{CO})_3(\text{H}_2\text{O})_3]^+$ 标记的新双功能联接剂的研究[J]. 核化学与放射化学, 2004, 26(1): 11-18.